



НАУКОВО-ПРАКТИЧНА КОНФЕРЕНЦІЯ  
З МІЖНАРОДНОЮ УЧАСТЮ,  
присвячена 155-річчю з дня народження  
В. В. ПІДВИСОЦЬКОГО

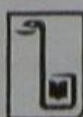


# СУЧАСНІ ТЕОРЕТИЧНІ ТА ПРАКТИЧНІ АСПЕКТИ КЛІНІЧНОЇ МЕДИЦИНИ

(для молодих вчених та студентів)

19–20 квітня 2012 року

**Тези доповідей**



ОДЕСЬКИЙ  
МЕДУНІВЕРСИТЕТ

**ГИСТОЛОГИЧЕСКОЕ ИССЛЕДОВАНИЕ  
ПОПУЛЯЦИИ ТУЧНЫХ КЛЕТОК ТИМУСА  
МЫШИ НА РАЗНЫХ ЭТАПАХ  
ОНТОГЕНЕЗА И В ХОДЕ  
АКЦИДЕНТАЛЬНОЙ ТРАНСФОРМАЦИИ**

Гусельникова В. В., Полевщиков А. В.

*Санкт-Петербургский государственный  
университет, Санкт-Петербург, Россия*

*Дальневосточный федеральный университет,  
Владивосток, Россия*

Целью нашего исследования было изучение популяции тучных клеток (ТК) тимуса, выявленных с использованием гистохимического метода окрашивания толуидиновым синим на разных этапах онтогенеза мыши, а также в условиях восстановления органа после стресс-индуцированной акцидентальной трансформации. В ходе эмбриогенеза первые ТК были идентифицированы на 19-й день внутриутробного развития. На протяжении всего эмбрионального периода ТК локализовались в мозговом веществе тимуса. Редкие ТК были обнаружены в пределах коркового вещества. Эмбриональные ТК характеризовались наличием в цитоплазме немногочисленных неплотно упакованных гранул и располагались одиночно среди других тимических клеток. У новорожденных, молодых и половозрелых животных ТК были локализованы в соединительной ткани капсулы и междольковых септ, а также субкапсулярно, характеризовались плотной упаковкой гранул и часто демонстрировали частичную дегрануляцию в сторону ткани органа. В условиях восстановления тимуса после индуцированной введением 2,5 мг гидрокортизона акцидентальной трансформации ТК вновь появлялись в пределах коркового вещества тимуса и на кортико-медуллярной границе, возвращаясь в исходную (до введения) локализацию через 72 ч после инъекции. На основании собственных результатов и данных литературы предполагается, что присутствие незрелых ТК в медулле и кортексе эмбрионального тимуса и зрелых ТК субкапсулярно, в капсуле и септах постнатального тимуса, а также появление новых ТК после стресса и акцидентальной трансформации могут служить косвенным свидетельством в пользу гипотезы тимического происхождения ТК.

**МОРФОЛОГИЧЕСКИЕ  
И МОРФОМЕТРИЧЕСКИЕ ОСОБЕННОСТИ  
СТРОЕНИЯ БИФУРКАЦИИ ОБЩЕЙ  
СОННОЙ АРТЕРИИ В ЗАВИСИМОСТИ  
ОТ ФОРМЫ ЧЕРЕПА ЧЕЛОВЕКА**

Гусь А. С., Шавлюк Д. В.

*Белорусский государственный медицинский  
университет, Минск, Беларусь*

Цель исследования — выявление морфологических и морфометрических параметров области

бифуркации общей сонной артерии у людей с разной формой черепа.

В результате исследования бифуркации общей сонной артерии установлено, что апикальный угол бифуркации у людей с долихокранной формой черепа наибольший (около 30°), что, вероятно, обусловлено большим переднезадним размером черепа, у мезокранов он меньше (около 25°), а у брахиокранов — самый маленький (около 15°).

Ширина области бифуркации общей сонной артерии наибольшая у долихокранов —  $(15,5 \pm 1,1)$  мм и мезокранов —  $(15,0 \pm 0,4)$  мм, а у брахиокранов она чуть меньше —  $(14,6 \pm 2,3)$  мм.

Верхняя щитовидная артерия у долихокранов, как правило (75 % случаев), отходит выше бифуркации общей сонной артерии, у мезокранов она располагается на ее уровне (67 % случаев), а у брахиокранов — чаще ниже бифуркации (64 %).

При изучении морфометрических показателей ширины артерий в области бифуркации общей сонной артерии установлены следующие особенности строения. Ширина наружной сонной артерии в начале ее отхождения у долихокранов наибольшая —  $(6,8 \pm 1,7)$  мм, у мезокранов чуть меньше —  $(6,5 \pm 0,7)$  мм, а у брахиокранов наименьшая —  $(6,2 \pm 1,5)$  мм. Ширина внутренней сонной артерии в начале ее отхождения больше, нежели наружной сонной артерии, и составляет у долихокранов  $(9,5 \pm 1,7)$  мм, у мезокранов —  $(8,5 \pm 2,1)$  мм, а у брахиокранов —  $(7,6 \pm 2,00)$  мм.

Ширина наружной сонной артерии на 1 см выше бифуркации у людей с брахиокранной формой черепа больше —  $(5,50 \pm 0,12)$  мм, чем у долихокранов —  $(5,3 \pm 1,3)$  мм и мезокранов —  $(4,00 \pm 0,16)$  мм. Ширина внутренней сонной артерии на 1 см выше бифуркации большая у долихокранов —  $(6,8 \pm 1,7)$  мм, чем у мезокранов —  $(6,0 \pm 1,4)$  мм и у брахиокранов —  $(5,2 \pm 1,7)$  мм. Ширина общей сонной артерии на 1 см ниже бифуркации у долихокранов больше —  $(10,5 \pm 1,3)$  мм по сравнению с мезокранами —  $(9,0 \pm 0,3)$  мм и брахиокранами —  $(8,90 \pm 1,02)$  мм.

Таким образом, у людей с долихокранной формой черепа ширина артерий в области бифуркации общей сонной артерии, как правило, больше, чем у людей при других формах черепа.

**МОРФОМЕТРИЧНА ОЦІНКА ЕНДОТЕЛІУ  
СУДИН ПАЦІЄНТІВ З ПЕПТИЧНОЮ  
ВИРАЗКОЮ ШЛУНКА  
ТА ДВАНАДЦЯТИПАЛОЇ КИШКИ,  
ПОЄДНАНОЮ З ЦУКРОВИМ ДІАБЕТОМ**

Давиденко І. С., Лазарук О. В.,  
Оліник О. Ю., Лазарук Т. Ю.

*Буковинський державний медичний університет,  
Чернівці, Україна*

Актуальність проблеми. Цікавим аспектом поєднаного перебігу та прогресування пептичної виразки (ПВ) шлунка та дванадцятипалої кишки,

поєднаної з цукровим діабетом (ЦД), є стан ендотелію, який відіграє важливу роль у прогресуванні та виникненні ускладнень.

Метою нашого дослідження було оцінити стан ендотеліоцитів кровоносних судин у хворих на ПВ та дванадцятипалої кишки, поєднану з ЦД.

**Методи та результати досліджень.** Обстежено 39 хворих на ПВ, 39 хворих на ЦД, 37 хворих на ПВ, поєднану з ЦД. Для оцінки стану ендотелію були використані спеціальні морфометричні критерії: коефіцієнт варіації розподілу ядерного хроматину в ядрах ендотеліоцитів (%), об'єм ядер ендотеліоцитів (мкм<sup>3</sup>), відсоток судин з явищами десквамації ендотелію (%).

Встановлено, що у хворих на ПВ, поєднану з ЦД, коефіцієнт варіації розподілу ядерного хроматину суттєво — у середньому вдвічі порівняно з ПВ та у 1,4 разу порівняно з ЦД ( $p < 0,05$ ) — перевищує показники у групах порівняння, що вказує на менш активний стан хроматину ядер ендотеліоцитів (переважає гетерохроматин). Низький функціональний стан ендотеліоцитів підтверджується малим об'ємом ядер цих клітин — у середньому у 2,4 разу менший, ніж у хворих на ПВ та у 1,5 разу менший, ніж у хворих на ЦД ( $p < 0,05$ ).

**Висновки.** Перебіг НР-асоційованої ПВ шлунка та дванадцятипалої кишки, поєднаної з ЦД, характеризується вираженою судинно-ендотеліальною дисфункцією, що проявляється підвищенням коефіцієнта варіації розподілу ядерного хроматину в ядрах ендотеліоцитів, збільшенням відсотка судин з явищами десквамації ендотелію у СОШ і СОДПК.

## РЕЗУЛЬТАТИ ЦИТОФОТОМЕТРИЧНОГО ДОСЛІДЖЕННЯ ЕРИТРОЦИТІВ У АКТИВНИХ ДОНОРІВ КРОВІ

Дерпак Ю. Ю.

*Національна медична академія післядипломної освіти імені П. Л. Шупика, Київ, Україна*

**Мета роботи** — провести цитофотометричні дослідження еритроцитів периферичної крові у регулярних донорів крові.

**Матеріал і методи.** Нами обстежено 92 донори віком від 20 до 55 років (48 чоловіків і 44 жінки). Серед них 39 осіб (21 — чоловік і 18 жінок) здійснювали донорію вперше в житті — вони утворили першу (I) групу спостереження, та 53 донори (27 чоловіків і 26 жінок) були постійними донорами зі стажем донорства понад два роки і здійснювали понад дві-три донорії щороку — вони увійшли до другої (II) групи спостереження. Цитофотометричні дослідження еритроцитів проводили за загальноновизнаною методикою. Результати досліджень оброблені методами варіаційної статистики з вираховуванням  $t$ -критерію достовірності Стьюдента.

**Результати.** У первинних донорів вміст гемоглобіну в еритроцитах периферичної крові, визна-

чений за методом інтерферометрії у пікограмах (пг) коливався від 20 до 50 пг і більше, причому у жінок показник кількості еритроцитів із рівнем гемоглобіну 20–29 пг становив 22,2 %, 30–39 пг — 61,1 %, 40–50 пг — 11,1 %, понад 50–5,6 % від загальної кількості еритроцитів, у чоловіків відповідно 23,8, 61,9, 9,5 і 4,8 %. У регулярних донорів крові ми виявляли аналогічний розподіл еритроцитів за вмістом гемоглобіну. При проведенні порівняльного аналізу достовірних відмінностей між вивченими показниками у обстежених I і II груп спостереження нами не виявлено ( $p > 0,05$ ).

**Висновок.** У регулярних донорів крові за даними цитофотометрії не виявляються порушення вмісту гемоглобіну в еритроцитах периферичної крові, порівняно із первинними донорами. Даний метод не може бути рекомендований для скринінгових досліджень при допущенні до донорії.

## ЭКСПРЕССИЯ C-kit (CD117) В ОСТРОВКАХ ПОДЖЕЛУДОЧНОЙ ЖЕЛЕЗЫ КРЫС ПРИ СТРЕПТОЗОЦИНОВОМ ДИАБЕТЕ

Калигин М. С., Плюшкина А. С., Шарипова Э. И., Титова А. А., Андреева Д. И.

*ГБОУ ВПО «Казанский государственный медицинский университет», Казань, Россия*

Одним из перспективных маркёров стволовых клеток поджелудочной железы (ПЖ) является C-kit (CD117), который участвует в дифференцировке клеток и располагается на клеточной мембране, что может стать удобным инструментом для выделения и культивирования клеток. Однако значение C-kit в ходе регенерации островков при сахарном диабете I типа остаётся неизученным. Поэтому целью исследования стало изучение динамики экспрессии C-kit в клетках ПЖ крысы при экспериментальном стрептозоциновом диабете. Исследование было проведено на 30 белых беспородных крысах-самцах, которым, внутрибрюшинно вводили 60 мг/кг стрептозоцина. Через 1, 2, 3, 5 и 7 сут. проводили забор ПЖ, которую фиксировали в 10 % нейтральном формалине и заливали в парафин по стандартной методике. Гистологические срезы окрашивали с коммерческими антителами против C-kit — маркёра клеток-предшественниц (КП), инсулина и глюкагона — маркёров дифференцированных В- и А-клеток соответственно. На всех сроках эксперимента в островках были обнаружены C-kit + клетки, которые синтезировали инсулин и глюкагон. Таким образом, при стрептозоциновом диабете на мембране КП островков появляется C-kit, который может связываться со своим лигандом — фактором стволовых клеток, что запускает процессы дифференцировки C-kit + клеток в А- и В-клетки. Полученные результаты свидетельствуют о том, что C-kit + клетки играют важную роль в восстановлении популяции поврежденных В-клеток при экспериментальном сахарном диабете I типа. Исследование поддержано грантом Президента РФ — МК-3632.2011.7